

だし懸濁粒子にラテックスを用いる場合は、電解質溶液を0.45 μmメンブランフィルターによりろ過した。懸濁粒子の流入、流出濃度 (C_{in}, C_{out}) は、シリカゲル、カオリンについては積分球式濁度計により、またラテックス粒子の個数濃度及びカオリンの粒径分布についてはコーンカウンターにより測定した。実験による初期ろ過係数λ₀の値は、 $\lambda_0 = -1/L (C_{out}/C_{in}) \dots (46)$ より決定した。

4. 結果と考察 (1)モデル系における初期捕集効率について (ただしF_e = 0)

懸濁粒子としてラテックスあるいはシリカゲルを用いた場合の初期ろ過係数λ₀の流速依存性の例を図-3～図-5に示す。λ₀値はいずれも流速の増加とともに減少しており、ラテックスについては流速が通常より大きくなると実験値は理論値より若干小さくなっている。またρ_p = 2.05と密度がラテックスよりも大きいシリカゲルについては、流速及び粒子粒径の増加とともにλ₀の実験値が理論値を大きく下まわる結果が得られた。理論では懸濁粒子のろ材への付着率を1としてろ過効率を計算しているが、こういった一連の結果から、一定範囲をはずれる流速、懸濁粒子径等の条件下では、懸濁粒子に作用する剪断力の増加等によりろ材、粒子の物理的・化学的表面性質に応じて付着率が1以下となり、λ₀の理論値と実験値に相違を生じると推察される。

(2)電気二重層力が無視できない系 カチオン性ポリマーを用いて前処理することにより砂のろ電位を変化させた砂 (d_g = 545 μm) -カオリン (d_p < 20 μm) 系におけるλ₀の実験値と理論値を図-6に示す。カオリンが広い粒径分布をもつため平均粒径を用いて計算したことを考慮しても、ζ_p > 0の範囲では両者の傾向は一致する。一方、ζ_p < 0では実験値に急激な低下はみられぬ。これはろ材表面の凹凸、電位分布の影響と考えられ、こういった条件下では軌道理論による追及には限界がある。

(3)懸濁粒子径に広範囲分布が存在する系 図-7に示す粒径分布をもつカオリンに関し、粒径分布を細分割し、その中央値を代表径として軌道理論により各々の初期ろ過係数λ₀を求め、さらに重量比率を乗じた上、加成性を仮定して全体のλ₀値を求めた例を図-8に示す。この結果λ₀の理論値は0.061となり、一方実験値は0.051であった。平均粒径6.4 μmを用いた場合は0.110と計算され、上記の方法による方が良好に対応を示している。今後は粒径の大きい範囲における付着率の考慮等により、さらに精度の高い計算が可能になると考えられる。

おわりに、軌道理論計算に多大の御協力を賜った京都大学工学部化学工学科、上田光三郎博士に謝辞致します。また実験の一部については笹原浩氏 (現、大気社) の協力を得たことを付記します。

[記号] A : 1.5 KwU cos θ (H+U)² / (1+R+HR)², B : 1.5 KwU sin θ (H+U)R / (1+R+HR)²
 D : 拡散係数 H : h/a_p (h : 粒子-ろ材間距離) L : ろ層厚さ Q : Hamaker 定数
 R : Q_p/Q_s, Q_p, Q_s : 粒子、ろ材の半径, d_p, d_s : 粒子、ろ材の直径, v_r, v_θ : 粒子速度のr, θ方向成分, α : 電磁気的誘電率係数, ρ_p, ρ : 粒子、流体の密度, ε : 空隙率, β : 透磁率
 τ₀ : KQ_p (K : Debye-Hückel 1/2κ²) ζ_p, ζ_s : 粒子、ろ材のろ電位, μ : 流体粘度
 [参考文献] 1) 藤村 : 京都大学博士論文 (1980, 10). 2) 上田 : 化学装置, 18(10), 96 (1976). 3) 尾崎, 野島, 比佐 : 才34 回年講, 323 (1979).

表-1. 懸濁粒子の性状

| | d _p (μm) | ρ _p (g/cm ³) | Q (vs. Glass beads) (10 ⁻¹³ erg) |
|-----------------------|----------------------|-------------------------------------|---|
| Silica Gel (for L.C.) | 5.1 | | |
| | 10.0 | 2.05 | 1.6 |
| Latex (S.D.B.) | 6.8 | 1.05 | 1.0 |
| Kaolin | 20 | | |
| | d _g = 5.3 | 2.69 | 4.3 |

S.D.B. : Styrene Divinylbenzene

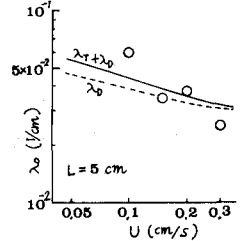


図-3. λ₀の流速依存性 (ラテックス, S.D.B.)

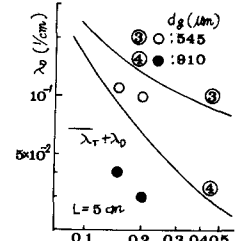


図-4. λ₀の流速依存性 (シリカゲル, 5.1 μm)

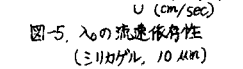


図-5. λ₀の流速依存性 (シリカゲル, 10 μm)

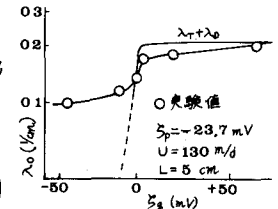


図-6. ろ材のろ電位とλ₀値

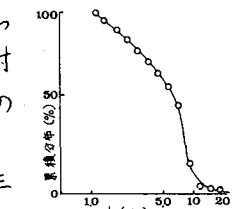


図-7. カオリンの累積粒径分布曲線

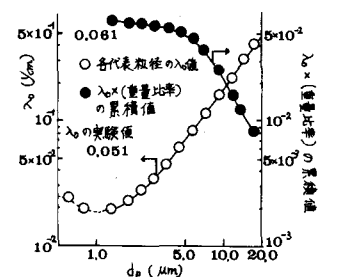


図-8. 粒径分布が存在する場合のλ₀値